

طراحی و ساخت درایو موتور سنکرون آهنربای دائم سطحی به روش پیش‌بین مستقل از مدل جریان و سرعت و رؤیتگر غیرخطی اغتشاش با رویکرد مقاوم نسبت به تغییرات پارامتر و اغتشاش

محمدباقر سپه‌کار و ابوالفضل حلوایی نیاسر

چکیده: در کنترل درایو موتورهای سنکرون آهنربای دائم (PMSM) سیستم کنترل باید برای کار در شرایط مختلف و در مواجهه با تغییرات پارامترهای موتور و اغتشاشات ناشناخته خارجی طراحی شود. برای ارتقای عملکرد درایو این موتور، در این مقاله روشی تحت عنوان کنترل پیش‌بین مستقل از مدل جریان و سرعت (MFPCSC) پیشنهاد شده است. این روش فقط از ورودی و خروجی سیستم استفاده می‌کند، پارامترهای موتور را در کنترل درایو دخیل نمی‌کند و نسبت به تغییرات پارامترهای موتور مقاوم است. در حالی که روش‌های مرسوم کنترل پیش‌بین مستقل از مدل، نیازمند تنظیم چندین پارامتر کنترلی هستند، در این مقاله برای بهبود عملکرد سیستم درایو این موتور و مقاوم نمودن آن به تغییرات پارامترها و اغتشاشات خارجی، روش کنترل پیش‌بین مستقل از مدل ارائه شده بر اساس رؤیتگر غیرخطی اغتشاش (NDO) طراحی می‌شود. این روش می‌تواند با دقت و پایداری بیشتری، اغتشاشات سیستم را تخمین بزند و حجم محاسبات آن کم است. نتایج شبیه‌سازی و آزمایش عملی روش پیشنهادی MFPCSC با ترکیب با رؤیتگر NDO نشان می‌دهد که روش کنترلی پیشنهادی، دارای مقاومت بالا به تغییرات پارامترها، پاسخ گذرای مطلوب، ریل خروجی کوچک و مشخصه‌های گذرای بهبود یافته است و می‌تواند اغتشاشات سیستم را به صورت دقیق و پایدار تخمین بزند.

به کمک روش‌های مبتنی بر رؤیتگر اغتشاش می‌توان با رؤیت و جریان اغتشاشات ناشی از تغییرات پارامترها به کنترل مقاوم در برابر تغییرات پارامترهای موتور دست یافت [۵]. در [۶] یک رؤیتگر مد لغزشی (SMO)^۵ مبتنی بر تعقیب نمایی، متغیر تخمینی برای تخمین اغتشاش و جریان استاتور پیشنهاد شده است. در دهه ۱۹۸۰، کنترل فعال حذف اغتشاش (ADRC) و رؤیتگر حالت توسعه یافته^۶ (ESO) برای برآورد وضعیت سیستم- حتی برای حالتی که مدل سیستم نامشخص باشد- پیشنهاد گردید [۷]. رؤیتگر ESO اغتشاش کل سیستم را با درنظرگرفتن آن به عنوان یک متغیر حالت تخمین می‌زند تا عدم قطعیت مدل و تغییرات پارامترها را جریان نماید [۷]. در [۸] تأثیر فرکانس‌های نمونه‌برداری مختلف بر کنترل جریان به صورت پیش‌بین مستقل از مدل (MFPCCC)^۷ بررسی گردیده که نتایج آن نشان می‌دهند ممکن است

کنترل پیش‌بین مبتنی بر مدل^۸ (MPC) به دلیل طراحی ساده، عملکرد کنترلی مطلوب و پیاده‌سازی آسان، در فرایندهای کنترلی بسیاری کاربرد دارد. در کاربرد درایو، MPC از مدل ریاضی موتور برای محاسبه مقدار پیش‌بینی شده پارامتر کنترلی استفاده نموده و پس از آن تابع هزینه را بهینه‌سازی می‌کند تا مقدار پیش‌بینی شده را به مقدار مرجع برساند [۱] و [۲]. روش‌های کنترل پیش‌بین مبتنی بر مدل بسته به متغیر کنترلی به دو دسته طبقه‌بندی می‌شوند: ۱) کنترل پیش‌بین جریان مبتنی بر مدل

کلیدواژه: موتور سنکرون آهنربای دائم، کنترل پیش‌بین مستقل از مدل، رؤیتگر غیرخطی اغتشاش، کنترل پیش‌بین جریان و سرعت.

۱- مقدمه

کنترل پیش‌بین مبتنی بر مدل^۸ (MPC) به دلیل طراحی ساده، عملکرد کنترلی مطلوب و پیاده‌سازی آسان، در فرایندهای کنترلی بسیاری کاربرد دارد. در کاربرد درایو، MPC از مدل ریاضی موتور برای محاسبه مقدار پیش‌بینی شده پارامتر کنترلی استفاده نموده و پس از آن تابع هزینه را بهینه‌سازی می‌کند تا مقدار پیش‌بینی شده را به مقدار مرجع برساند [۱] و [۲]. روش‌های کنترل پیش‌بین مبتنی بر مدل بسته به متغیر کنترلی به دو دسته طبقه‌بندی می‌شوند: ۱) کنترل پیش‌بین جریان مبتنی بر مدل

این مقاله در تاریخ ۱ بهمن ماه ۱۴۰۱ دریافت و در تاریخ ۲۷ تیر ماه ۱۴۰۲ بازنگری شد.

محمدباقر سپه‌کار، دانشکده مهندسی برق و کامپیوتر، دانشگاه کاشان، کاشان، ایران، (email: sepehkar.m@gmail.com).
ابوالفضل حلوایی نیاسر، دانشکده مهندسی برق و کامپیوتر، دانشگاه کاشان، کاشان، ایران، (email: halvaei@kashanu.ac.ir).

1. Model Predictive Control

2. Model Predictive Current Control
3. Model Predictive Torque Control
4. Ultralocal Model
5. Sliding Mode Observer
6. Active Disturbance Rejection Control
7. Extended State Observer
8. Model-Free Predictive Current Control

مجزا برای موتورهای آهنربای دائم با ولتاژ ضد محرکه غیرسینوسی در کاربردهایی که نویز صوتی و ریپل گشتاور باید با تغییرات شدید محیطی حداقل باشند، می‌پردازد. همچنین با به کارگیری کنترل پیش‌بین برای سرعت، پاسخ گذرای سیستم سریع‌تر شده و البته مقدار پیک جریان لحظه‌ای شتاب‌گیری، کمی افزایش می‌یابد. این یکپارچه‌سازی و حذف کنترل‌کننده سرعت PI و درنظرگرفتن تغییرات پارامترها و همچنین اغتشاشات خارجی باعث افزایش قابلیت اطمینان کنترل‌کننده در رسیدن به مقادیر مرجع در زمان گذرا مشخص می‌شود.

روند ارائه مطالب در این مقاله به شرح زیر است: در بخش ۲ ابتدا مدل ریاضی مotor بسیار ساده‌شده مورد استفاده برای کنترل پیش‌بین مستقل از مدل جریان (MFPCC) موتور معرفی می‌شود. پس از آن، ایده استفاده از رؤیتگر غیرخطی اغتشاش به عنوان جایگزینی برای روش مرسم MFPCC ارائه می‌گردد. در بخش‌های ۳ و ۴ کارایی روش پیشنهادی از طریق شبیه‌سازی و آزمایش‌های عملی ارزیابی شده و بخش ۵ هم به نتیجه‌گیری اختصاص دارد.

۲- مدل ریاضی کنترل پیش‌بین مستقل از مدل

مدل ریاضی بسیار ساده‌شده برای کنترل پیش‌بین مستقل از مدل یک سیستم تک‌خودودی- تک‌خروجی، تنها با استفاده از ورودی و خروجی سیستم و با صرف‌نظر از مدل ریاضی آن به صورت رابطه زیر تعریف می‌شود [۱۳]

$$\dot{y} = \alpha u + F \quad (1)$$

که y خروجی سیستم، u ورودی سیستم، F مجموع اغتشاشات شناخته‌شده و ناشناخته سیستم و α ضریب مقایس غیرفیزیکی مدل طراحی شده است. با درنظرگرفتن y^* به عنوان مقدار مرجع خروجی سیستم، \hat{F} به عنوان مقدار تخمینی F و ξ به عنوان خروجی کنترل‌کننده طراحی شده، قانون کنترلی کنترل‌کننده مستقل از مدل به صورت زیر بیان می‌شود

$$u = \frac{\dot{y}^* - \hat{F} + \xi}{\alpha} \quad (2)$$

که ξ می‌تواند خروجی کنترل‌کننده تناسبی، تناسبی- انتگرال‌گیر یا تناسبی- انتگرال‌گیر- مشتق‌گیر باشد. با فرض اینکه F با دقت بالای تخمین زده شود (یعنی $\hat{F} = F$)، از (۱) و (۲) نتیجه می‌شود

$$\dot{e} + k_p e = 0 \quad (3)$$

که $e = y^* - y$ نشان‌دهنده خطای ردیابی خروجی است. با فرض اینکه ξ خروجی کنترل‌کننده تناسبی به صورت $k_p e = \dot{e}$ باشد، قانون کنترلی سیستم غیرخطی حلقه بسته به صورت زیر توصیف می‌شود

$$u = \frac{\dot{y}^* - \hat{F} + k_p e}{\alpha} \quad (4)$$

$$\dot{e} + k_p e = 0$$

بدیهی است که عملکرد کنترل‌کننده به ضریب کنترل‌کننده تناسبی (k_p) و دقت تخمین وابسته است. پایداری این سیستم در [۱۴] اثبات شده است. مدل ریاضی ساده‌شده موتور PMSM در دستگاه q-d به صورت زیر بیان می‌شود

دقت کنترل‌کننده در فرکانس‌های نمونه‌برداری کمتر کاهش یابد. علاوه بر این، یک رؤیتگر ESO برای تخمین اغتشاشات سیستم ایجاد شد. نتایج نشان می‌دهند که این روش از نظر خطای ردیابی، هارمونیک‌های جریان و بالازدگی گذرا عملکرد بهتری را نشان می‌دهد. با این حال، سیستم کنترل درایو موتور آهنربای دائم، هم تحت تأثیر تغییرات پارامترهای الکتریکی و هم تحت تأثیر بار مکانیکی است؛ اما در این مقاله حلقه کنترل سرعت توسط کنترل‌کننده PI پیاده‌سازی می‌شود. روش‌های جبران این اغتشاشات، محدودیت‌های خاصی (به عنوان مثال عدم قطعیت پارامترهای موتور یا وابستگی به فرکانس نمونه‌برداری) دارند که می‌توان برای کنترل آنها از روش مد لغزشی استفاده نمود که تخمین اغتشاشات را به عهده دارد [۹]. در [۱۰] یک مدل بسیار ساده‌شده و یک روش کنترل پیش‌نهاد گردیده است. این مدل با استفاده از متغیرهای ورودی و خروجی حلقه کنترل سرعت ایجاد شده و نتایج نشان می‌دهند که از مقاومت بالا و حساسیت پایین نسبت به اغتشاشات برخوردار است. مرجع [۱۱] یک روش کنترل مستقل از مدل موتور را بر مبنای تابع بهینه‌سازی ارائه کرده است که در آن با خوانش جریان فعلی (i_k) و داشتن دو بردار ولتاژ قبلی پیروزشده در فرایند کمینه‌یابی (v_{k-1}, v_{k-2}) و محاسبه تغییرات جریان در دو مرحله قبلی Δi_{k-1} و Δi_{k-2} و محاسبه گرادیان جریان با رابطه ساده‌شده (به شرط یکی نبودن دو بردار ولتاژ قبلی)، تخمین جریان یک مرحله بعدی و پیش‌بینی جریان دو مرحله بعد انجام می‌شود. سپس با حداقل‌سازی تابع هدف- که رسیدن به جریان‌های مرجع i_d و i_q است- بردار موفق اعمال‌شونده مشخص می‌گردد. البته که این روش برای کنترل سرعت به کنترل‌کننده دیگری نیاز دارد؛ ولی از لحاظ کنترل جریان، مستقل از مدل موتور می‌باشد و پاسخ گذرا به خوبی عمل می‌کند و به خوانش دقیق و سریع جریان بسیار حساس است.

در [۱۲] یک روش MFPCC بر اساس رؤیتگر NDO برای کنترل جریان درایو موتور آهنربای دائم پیشنهاد گردیده است که در این روش- با درنظرگرفتن تغییرات پارامترها به عنوان اغتشاش- روش کنترل بر این اساس است که اغتشاشات از روش غیرخطی تخمین زده شوند و از معادله موتور کم گردد تا کنترل موتور، مقاوم به این تغییرات (در محدوده مشخص) باشد. نتایج شبیه‌سازی این مقاله نشان می‌دهد که روش کنترلی پیشنهادشده دارای مقاومت بالا، ریپل خروجی کوچک و مشخصه‌های گذرا بهبودیافته است و می‌تواند اغتشاشات سیستم را به طور دقیق و پایدار تخمین بزند؛ اما کنترل سرعت توسط کنترل‌کننده PI پیاده‌سازی شده که تنظیم ضرایب آن به پارامترهای موتور وابسته است. در روش‌های قبلی، کنترل همزمان سرعت و جریان به صورت پیش‌بین مستقل از مدل پیاده‌سازی نشده است. با هدف کاهش حساسیت سیستم درایو موتور سنکرون آهنربای دائم^۱ (PMSM) و افزایش مقاومت آن به تغییرات پارامترها و اغتشاشات داخلی و خارجی، در این مقاله تلاش می‌شود که روش کنترل پیش‌بین مستقل از مدل بهمنظور کنترل حلقه سرعت و حلقة داخلی جریان بر اساس رؤیتگر غیرخطی اغتشاش^۲ (NDO) طراحی و پیاده‌سازی شود.

این مقاله به طراحی کنترل‌کننده پیش‌بین مستقل از مدل (MFPC) با درنظرگرفتن جبران‌گر اغتشاشات غیرخطی (NDO) و به کارگیری این کنترل‌کننده برای حلقه جریان و حلقه سرعت (MFPCSC) به صورت

بهازی و لتاژهای اعمالی $\{0, 1, \dots, 7\}$ در kT_s می‌باشد. چون اعمال هر کدام از ۸ بردار و لتاژ که باعث تغییرات مؤلفه‌های d و q جریان می‌شود قابل اندازه‌گیری است، همه این تغییرات جریان برای تخمین زدن و پیش‌بینی جریان مراحل بعدی در جدولی ذخیره و به صورت مداوم به روز می‌شود. بنابراین $\Delta \underline{i}_j^k = [\Delta \underline{i}_{d(j)}^k \Delta \underline{i}_{q(j)}^k]$ در رابطه بالا مشخص کننده تغییرات جریان بهازی اعمال V_j^k است. همچنین جریان در شروع مرحله

$$\underline{i}_j^{k+1} = \underline{i}_j^k + \Delta \underline{i}_j^k \quad (10)$$

پیش‌بینی شود که \underline{i}_j^{k+1} بردار پیش‌بینی جریان بهازی اعمال بردار و لتاژ در $(k+1)T_s$ می‌باشد. بر اساس رابطه ارائه شده در [۱۱]، محاسبه بردار تغییرات جریان به صورت مستقل از مدل با رابطه زیر تخمین زده شده و برای پیش‌بینی تغییرات جریان در $(k+2)T_s$ استفاده گردید که بر اساس آن، بردار و لتاژی کهتابع هدف کمینه می‌شود کشف و اعمال می‌گردد. البته شرط درست کارکردن این الگوریتم، مشابه‌بودن بردارهای و لتاژ دو مرحله قبل است که در صورت مشابهت باید به دو بردار، تجزیه و سپس استفاده شود

$$\Delta \underline{i}_{j'}^{k-1} = \frac{(V_{j'}^{k-1} - V_j^{k-1})(\Delta \underline{i}_j^{k-1} - \Delta \underline{i}_{j'}^{k-1})}{V_j^{k-1} - V_{j'}^{k-1}} + \Delta \underline{i}_j^{k-1} \quad (11)$$

این روش مستقل از مدل، مقادیر مرجع‌های خود را دنبال می‌کند ولی نیاز به محاسبات زیاد و پردازندۀ قوی دارد [۱۱].

۱-۲ روش پیشنهادی (MFPCSC+NDO)

در روش پیشنهادی با نام کنترل پیش‌بین مستقل از مدل جریان و سرعت^۱ (MFPCSC) با رؤیتگر با درنظر گرفتن تغییرات پارامترهای موتور و اغتشاشات و با تخمین آنها با رؤیتگر NDO، هم برای حلقة کنترل جریان و هم برای حلقة کنترل سرعت و با هدف بررسی ریلی گشتاور و مقاومبودن کنترل کننده به طراحی آن پرداخته می‌شود. با درنظر گرفتن تغییرات پارامترها و اغتشاشات ناشناخته سیستم می‌توان مدل ریاضی PMSM در دستگاه d - q را به صورت زیر بیان کرد

$$\begin{aligned} v_d &= (R_s + \Delta R) i_d + (L_s + \Delta L) \frac{di_d}{dt} - \\ &\omega_e (L_s + \Delta L) i_q + f_d \\ v_q &= (R_s + \Delta R) i_q + (L_s + \Delta L) \frac{di_q}{dt} + \\ &\omega_e (L_s + \Delta L) i_d + \omega_e (\psi_f + \Delta \psi_f) + f_q \end{aligned} \quad (12)$$

که در آن i_d ، i_q و v_d مؤلفه‌های بردارهای و لتاژ و جریان استاتور در دستگاه d - q و L_s مقاومت و اندوکتانس سنکرون سیم پیچ استاتور، R_s و ω_e شار پیوندی آهنربای دائم، ψ_f سرعت الکتریکی موتور، ΔR و ΔL تغییرات پارامترها و f_d و f_q نشان‌دهنده اغتشاشات ناشناخته در محورهای d و q هستند. معادله (۵) را می‌توان به صورت زیر بازنویسی کرد

$$\begin{aligned} v_d &= R_s i_d + L_s \frac{di_d}{dt} - \omega_e L_s i_q \\ v_q &= R_s i_q + L_s \frac{di_q}{dt} + \omega_e L_s i_d + \omega_e \psi_f \\ \underline{i}_d^{k+1} &= \underline{i}_d^k - \frac{(R_s T_s)}{L_d} \underline{i}_d^k + \frac{(L_q T_s)}{L_d} \underline{i}_q^k + \frac{T_s}{L_d} v_d^k \\ \underline{i}_q^{k+1} &= \underline{i}_q^k - \frac{(R_s T_s)}{L_q} \underline{i}_q^k - \frac{(L_d T_s \omega_r)}{L_q} \underline{i}_d^k + \frac{T_s}{L_q} v_q^k - \frac{(\varphi_f T_s \omega_r)}{L_q} \end{aligned} \quad (5)$$

در این روابط T_s زمان نمونه‌برداری، \underline{i}_d^{k+1} ، \underline{i}_q^{k+1} و v_d^{k+1} جریان‌های محور d - q در زمان‌های $(k+1)T_s$ و v_q^{k+1} بردارهای و لتاژ استاتور در زمان kT_s هستند. باید توجه داشت که یک مرحله تأخیر بین بردار و لتاژ تصمیم‌گیری شده و بردار اعمال شده وجود دارد. برای جریان این تأخیر ذاتی، ابتدا باید جریان (۵) بر اساس جریان در شروع مرحله kT_s و لتاژ اعمال شده در $(k-1)T_s$ تخمین زده شود. اگر از روش مرسوم مبتنی بر مدل پیش‌بین (MFPCCC) استفاده شود با تشکیل تابع هدف g به صورت (۶) می‌توان بردار و لتاژی کهتابع هدف را بهینه کند، پیدا کرد

$$g = (i_d(k+1))^r + (i_q^*(k+1))^r + \hat{f}(i_{d(k+1)}, i_{q(k+1)}) \quad (6)$$

در روش مرسوم با تشکیل تابع هدف برای هر هشت بردار و لتاژ، بردار و لتاژ منجر به کمینه‌شدن آن برای مرحله بعدی مشخص می‌شود. به منظور مقایسه با روش‌های دیگر، این موتور با همین پارامترها با روش مستقل از مدل ارائه شده در [۱۱] شبیه‌سازی و مقایسه می‌شود. در این روش با تشکیل تابع کمینه‌شونده g به صورت زیر

$$g = |i_d^{ref} - i_d^{k+1}| + |i_q^{ref} - i_q^{k+1}| \quad (7)$$

جریان در شروع مرحله $k+2$ به صورت زیر پیش‌بینی می‌شود

$$\begin{aligned} \underline{i}_d^{k+1} &= \underline{i}_d^k - \frac{(R_s T_s)}{L_d} \underline{i}_d^k + \frac{(L_q T_s)}{L_d} \underline{i}_q^k + \frac{T_s}{L_d} v_d^{k+1} \\ \underline{i}_q^{k+1} &= \underline{i}_q^k - \frac{(R_s T_s)}{L_q} \underline{i}_q^k - \frac{(L_d T_s \omega_r)}{L_q} \underline{i}_d^k + \frac{T_s}{L_q} v_q^{k+1} - \frac{(\varphi_f T_s \omega_r)}{L_q} \end{aligned} \quad (8)$$

که در آن i_d^{k+1} و i_q^{k+1} جریان‌های پیش‌بینی شده در $k+2$ و v_d^{k+1} بردارهای و لتاژ مرحله $k+1$ هستند. جریان‌های استاتور فوق می‌توانند بر اساس همه بردارهای و لتاژ ممکن محاسبه شوند و هر کدام از بردارهای و لتاژ کهتابع هدف را کمینه کند، به عنوان بردار و لتاژ اعمالی انتخاب می‌شود. همان طور که از روابط بالا مشخص است، پیش‌بینی جریان و نهایتاً تشکیل تابع هدف، وابسته به پارامترهای موتور است که با تغییر دما، بار و عکس العمل آرمیچر در بازه مشخصی تغییر می‌کند. روش مستقل از مدل [۱۱] به صورت تخمین تغییرات جریان بر اساس و لتاژهای اعمال شده مرحله قبلی بر اساس روابط ذیل شبیه‌سازی شده و با روش پیشنهادی مقایسه می‌گردد

$$\underline{i}_j^{k+1} = \underline{i}_j^k + \Delta \underline{i}_j^k \quad (9)$$

که در آن $\underline{i}_j^k = [i_d^k \ i_q^k]$ بردار جریان‌های اندازه‌گیری شده در $(k+1)T_s$ و $\underline{i}_j^{(k+1)} = [i_{(d|j)}^{(k+1)} \ i_{(q|j)}^{(k+1)}]$ بردار جریان‌های تخمین‌زده شده در

$$\alpha = \begin{bmatrix} \alpha_d & \cdot \\ \cdot & \alpha_q \end{bmatrix} \quad (18)$$

به ترتیب ماتریس بهره رؤیتگر غیرخطی اغتشاش و ماتریس بهره کنترل کننده هستند. رابطه ماتریس بهره رؤیتگر و بردار تابع غیرخطی رؤیتگر که باید طراحی شود به صورت زیر است

$$l(x) = \frac{\partial \lambda(x)}{\partial x} \quad (19)$$

در ساده‌ترین حالت برای $x = [i_d \ i_q]^T$ ، بردار $\lambda(x)$ به صورت خطی $\lambda(x) = [\lambda_d(x) \ \lambda_q(x)]^T = [i_d \ i_q]$ در نظر گرفته می‌شود که ۱/ یک عدد ثابت است؛ بنابراین (۱۶) می‌تواند به صورت رابطه زیر گسته‌سازی و ساده‌سازی شود

$$\frac{h(k+1) - h(k)}{T_s} = -l(h(k)) - \{lx(k) + \alpha u(k)\} \quad (20)$$

$$\hat{F}(k+1) = h(k+1) + lx(k)$$

به منظور بدست آوردن مدل زمان گسته سیستم از تقریب اوبلر می‌توان (۱۳) را به صورت زیر نوشت

$$\begin{aligned} i_d(k+1) &= i_d(k) + T_s \{\alpha_d v_d(k) + \hat{F}_d(k)\} \\ i_q(k+1) &= i_q(k) + T_s \{\alpha_q v_q(k) + \hat{F}_q(k)\} \end{aligned} \quad (21)$$

با ساده‌سازی (۲۱) نتیجه می‌شود

$$\begin{aligned} v_d(k) &= \frac{i_d(k+1) - i_d(k)}{T_s \alpha_d} - \frac{\hat{F}_d(k)}{\alpha_d} \\ v_q(k) &= \frac{i_q(k+1) - i_q(k)}{T_s \alpha_q} - \frac{\hat{F}_q(k)}{\alpha_q} \end{aligned} \quad (22)$$

برای اینکه جریان‌های دومحوری موتور، جریان‌های دومحوری مرجع را دنبال کنند، مقدار آینده جریان در (۲۲) با مقدار مرجع جریان، برابر فرض می‌شوند [۱۲] و [۱۵]

$$\begin{aligned} i_d(k+1) &= i_d^* \\ i_q(k+1) &= i_q^* \end{aligned} \quad (23)$$

که i_d^* و i_q^* خروجی حلقه خارجی کنترل سرعت است؛ لذا مقدار مرجع ولتاژ به صورت زیر قابل محاسبه است

$$\begin{aligned} v_d(k) &= \frac{i_d^* - i_d(k)}{T_s \alpha_d} - \frac{\hat{F}_d(k)}{\alpha_d} \\ v_q(k) &= \frac{i_q^* - i_q(k)}{T_s \alpha_q} - \frac{\hat{F}_q(k)}{\alpha_q} \end{aligned} \quad (24)$$

برای بدست آوردن تخمین‌های $\hat{F}_d(k)$ و $\hat{F}_q(k)$ از (۲۰) می‌توان به صورت زیر عمل نمود

$$\begin{aligned} h_d(k+1) &= h_d(k) - l.T_s(h_d(k) + li_d(k) + \alpha v_d(k)) \\ h_q(k+1) &= h_q(k) - l.T_s(h_q(k) + li_q(k) + \alpha v_q(k)) \end{aligned} \quad (25)$$

$$\begin{aligned} \hat{F}_d(k+1) &= h_d(k+1) + li_d(k) \\ \hat{F}_q(k+1) &= h_q(k+1) + li_q(k) \end{aligned} \quad (26)$$

که با جایگذاری در (۲۴) می‌توان بردار ولتاژ اعمالی مرحله بعدی را بدست آورد. به منظور بررسی پایداری کنترل کننده، خطای اغتشاش سیستم به صورت

$$\begin{aligned} \frac{di_d}{dt} &= \frac{v_d}{L_s} - \frac{\Delta L}{L_s} \frac{di_d}{dt} - \frac{(R_s + \Delta R)i_d}{L_s} + \\ &\quad \frac{\omega_e(L_s + \Delta L)i_q}{L_s} - \frac{f_d}{L_s} \\ \frac{di_q}{dt} &= \frac{v_q}{L_s} - \frac{\Delta L}{L_s} \frac{di_q}{dt} - \frac{(R_s + \Delta R)i_q}{L_s} - \\ &\quad \frac{\omega_e(L_s + \Delta L)i_d}{L_s} - \frac{\omega_e(\psi_f + \Delta \psi_f)}{L_s} - \frac{f_q}{L_s} \end{aligned} \quad (13)$$

اگر جریان‌های دومحوری $d-q$ به عنوان خروجی سیستم، ولتاژ‌های دومحوری $d-q$ به عنوان ورودی سیستم و سایر جملات به عنوان مجموع اغتشاشات شناخته شده و ناشناخته سیستم (F_d و F_q) در نظر گرفته شوند، مدل ریاضی بسیار ساده‌شده برای کنترل پیش‌بین مستقل از مدل درایو PMSM به صورت زیر توصیف می‌شود

$$\begin{aligned} \frac{di_d}{dt} &= \alpha_d v_d + F_d \\ \frac{di_q}{dt} &= \alpha_q v_q + F_q \end{aligned} \quad (14)$$

که α_d و α_q ضرایب کنترل کننده و متناسب با عکس اندوکتانس‌های دو محور و به صورت زیر هستند

$$\begin{aligned} F_d &= -\frac{\Delta L}{L_s} \frac{di_d}{dt} - \frac{(R_s + \Delta R)i_d}{L_s} + \frac{\omega_e(L_s + \Delta L)i_q}{L_s} - \frac{f_d}{L_s} \\ F_q &= -\frac{\Delta L}{L_s} \frac{di_q}{dt} - \frac{(R_s + \Delta R)i_q}{L_s} - \frac{\omega_e(L_s + \Delta L)i_d}{L_s} - \\ &\quad \frac{\omega_e(\psi_f + \Delta \psi_f)}{L_s} - \frac{f_q}{L_s} \end{aligned} \quad (15)$$

برای تخمین اغتشاشات F_d و F_q از رؤیتگر NDO استفاده می‌شود.

۲-۲ رؤیتگر غیرخطی اغتشاش (NDO)

در این بخش، ابتدا ایده اولیه رؤیتگر غیرخطی اغتشاش بر مبنای [۱۲] معرفی گردیده و در ادامه به منظور تسهیل پیاده‌سازی رؤیتگر پیشنهاد می‌شود که در ساختار آن از تابع خطی به جای تابع غیرخطی استفاده شود. همچنین پیشنهاد می‌گردد که برای پیاده‌سازی حلقه کنترل سرعت از کنترل کننده پیش‌بین مستقل از مدل به جای کنترل کننده مرسوم PI استفاده شود.

برای بهبود مشخصه مقاومت کنترل کننده در مقایسه با روش مرسوم MFPCC، اغتشاش کلی سیستم با دقت بیشتری برآورد و به صورت تأخیر یک مرحله به روزرسانی می‌شود. یک رؤیتگر غیرخطی اغتشاش برای تخمین اغتشاش کل سیستم به صورت زیر طراحی شده است [۱۴]

$$\begin{aligned} \dot{h} &= -l(x)h - l(x)\{\lambda(x) + \alpha u\} \\ \hat{F} &= h + \lambda(x) \end{aligned} \quad (16)$$

که $\hat{F} = [\hat{F}_d \ \hat{F}_q]^T$ و $h = [h_d \ h_q]^T$ بردار متغیرهای حالت درونی سیستم، $x = [x_1 \ x_2]^T = [i_d \ i_q]^T$ بردار مقادیر برآورده شده اغتشاشات سیستم، $u = [v_d \ v_q]^T$ بردار متغیرهای حالت سیستم، $\lambda(x) = [\lambda_d(x) \ \lambda_q(x)]^T$ بردار تابع غیرخطی رؤیتگر هستند که باید طراحی شوند و همچنین دو ماتریس $l(x)$ و α به صورت

$$l(x) = \begin{bmatrix} l_d(x) & \cdot \\ \cdot & l_q(x) \end{bmatrix} \quad (17)$$

که ω_m سرعت مکانیکی روتور، J اینرسی محور، p تعداد زوج قطب، B ضریب اصطکاک و T_L گشتاور بار مکانیکی است. با درنظرگرفتن ω_m به عنوان خروجی و i_q به عنوان ورودی مدل می‌توان (۳۲) را همانند (۱۴) و (۱۵) به صورت زیر بازنویسی کرد

$$\begin{aligned} \frac{d\omega_m}{dt} &= \beta i_q + F_m \\ F_m &= \frac{1}{J}(-B\omega_m - T_L) \end{aligned} \quad (۳۳)$$

که F_m مجموع اغتشاشات مکانیکی سیستم و $\beta = \frac{3p\psi_f}{(2J)}$ بهره ورودی است. برای تخمین \hat{F}_m می‌توان روندی مشابه (۱۶) را تکرار کرد که $x = \omega_m$ متغیر حالت سیستم است

$$\begin{aligned} \dot{h}_m &= -l(\omega_m)h_m - l(\omega_m)[\lambda(\omega_m) + \beta i_q] \\ \hat{F}_m &= h_m + \lambda(\omega_m) \\ \lambda(\omega_m) &= \ell \omega_m \\ l(\omega_m) &= \frac{\partial \lambda(\omega_m)}{\partial \omega_m} = \ell \end{aligned} \quad (۳۴)$$

با استفاده از تقریب اویلر، (۳۳) به صورت زیر قابل بازنویسی است

$$\frac{\omega_m(k+1) - \omega_m(k)}{T_s} = \beta i_q(k) + \hat{F}_m(k) \quad (۳۵)$$

با درنظرگرفتن $\omega_m(k+1) = \omega_m^*(k+1)$ می‌توان مقدار مرجع جریان i_q را به صورت زیر محاسبه کرد

$$i_q(k+1) = \frac{\omega_m^*(k+1) - \hat{F}_m(k)}{T_s \beta} \quad (۳۶)$$

به منظور محاسبه ولتاژ در سیکل بعد، مقادیر مرجع $i_q(k+1)$ و $i_d(k+1)$ در (۲۲) جایگذاری می‌شوند.

۳- نتایج شبیه‌سازی

مشخصات موتور PMSM مورد استفاده و پارامترهای رؤیتگر NDO طراحی شده به ترتیب در جداول ۱ و ۲ آورده شده‌اند. برای مقایسه قابلیت روش کنترل پیش‌بینی (MFPCSC+NDO)، این روش با دو روش کنترل پیش‌بین جریان بر مبنای مدل^۱ (MBPCC) و روش کنترل جریان ارائه شده در [۱۱] مقایسه می‌گردد. شکل‌های ۱ تا ۳ نتایج شبیه‌سازی استفاده از این سه روش را نمایش می‌دهند.

ابتدا روش مرسوم کنترل پیش‌بین جریان بر مبنای مدل (MBPCC) با تابع هدف (۶) شبیه‌سازی گشته و با درنظرگرفتن ضرایب وزنی مناسب، نتایج آن در شکل ۱ مشاهده می‌شوند. در این شبیه‌سازی در لحظه $t = 0.1$ ثانیه، فرمان سرعت مرجع برابر 200 rpm و بار مکانیکی برابر 60 N.m به موتور اعمال می‌شود. سرعت موتور که در شکل‌ها با نماد N_m نشان داده شده است، افزایش یافته و پس از حدود 0.09 ثانیه به سرعت مرجع می‌رسد. در لحظه $t = 0.4$ ثانیه، سرعت مرجع به صورت تغییر پله‌ای تا مقدار rpm 430 افزایش می‌یابد و پس از حدود 0.115 ثانیه سرعت موتور به سرعت مرجع می‌رسد. در لحظه $t = 0.6$ ثانیه، بار مکانیکی اعمالی به محور به طور ناگهانی قطع و در لحظه $t = 0.7$ ثانیه، مجددًا اعمال می‌شود. در لحظه $t = 0.8$ ثانیه، جهت اعمال بار، برعکس

جدول ۱: مشخصات موتور PMSM مورد استفاده.

نام کمیت	مقدار
R_s	0.022Ω
L_s	0.000289 H
ψ_f	0.159 wb
J	0.1 kg.m^2
B	0.1 N.m.s
p	6
V_{dc}	96 v
P_{rated}	3 kw
N_{rated}	430 rpm

جدول ۲: پارامترهای رؤیتگر NDO.

α	350
β	15
ℓ	100

$$e = F - \hat{F} \quad (۲۷)$$

تعريف می‌شود و بنابراین

$$\dot{e} = \dot{F} - \dot{\hat{F}} = \dot{F} - [\dot{h} + \dot{\lambda}(x)] = -l(x)e + \dot{F} \quad (۲۸)$$

برای بررسی پایداری و همگرایی NDO،تابع لیاپانوف به صورت زیر تعريف می‌شود [۱۲] و [۱۶]

$$V = \frac{1}{2} e^T \quad (۲۹)$$

با توجه به اینکه اغتشاش F و \hat{F} محدود هستند یعنی $\lim_{t \rightarrow \infty} \dot{F} = 0$ ؛ با مشتق گرفتن از (۲۹) به دست می‌آید

$$\dot{V} = e \dot{e} = e \times [-l(x)e + \dot{F}] = -l(x)e^T \leq 0. \quad (۳۰)$$

لذا با توجه به تئوری پایداری تابع لیاپانوف، رؤیتگر NDO طراحی شده پایدار است [۱۴]. با استفاده از تقریب اویلر و با درنظرگرفتن i_d به عنوان خروجی و v_d به عنوان ورودی سیستم، تابع تبدیل زمان گستته سیستم به صورت زیر به دست می‌آید

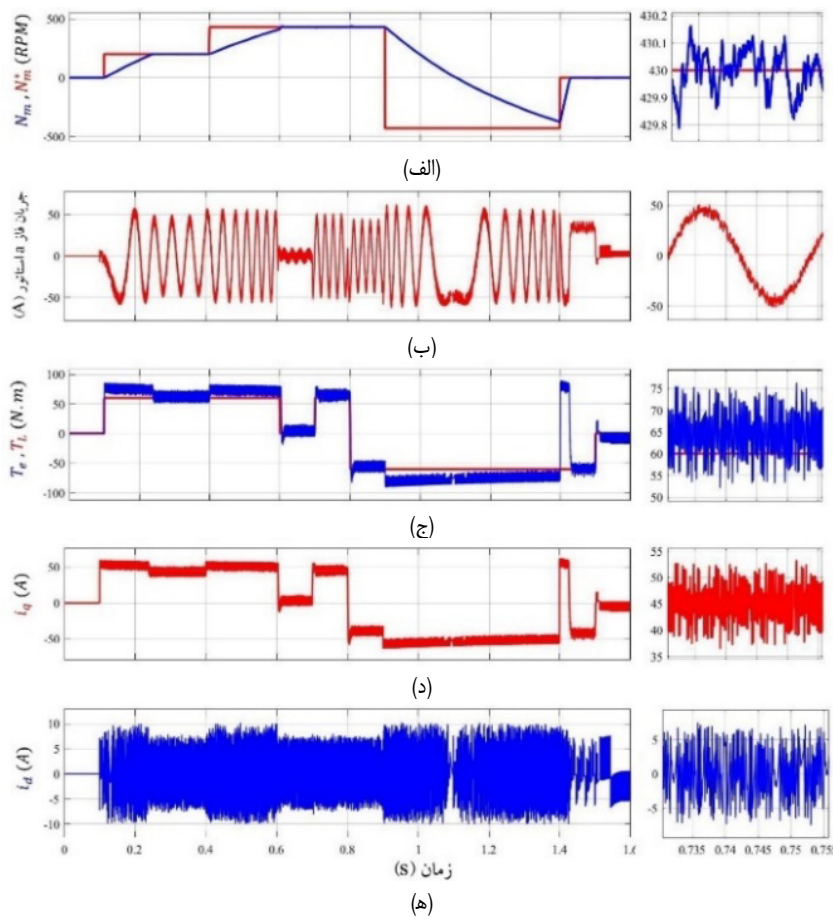
$$G(z) = \frac{I_d(z)}{V_d(z)} = \frac{T_s \alpha_d z^{-1}}{1 - (1 - I^T T_s)z^{-1}} \quad (۳۱)$$

که T_s زمان نمونه‌برداری است. تابع تبدیل فوق، یک صفر روی مبدأ و یک قطب در $1 - I^T T_s$ دارد. زمان نمونه‌برداری T_s به اندازه کافی کوچک است و بنابراین می‌توان با انتخاب یک قطب مناسب نه چندان بزرگ برای I اطمینان حاصل کرد که قطب سیستم حلقه بسته درون دایره واحد قرار دارد و سیستم پایدار است. به طور مشابه می‌توان روند فوق را برای اثبات پایداری کنترل کننده طراحی شده برای i_q تکرار کرد.

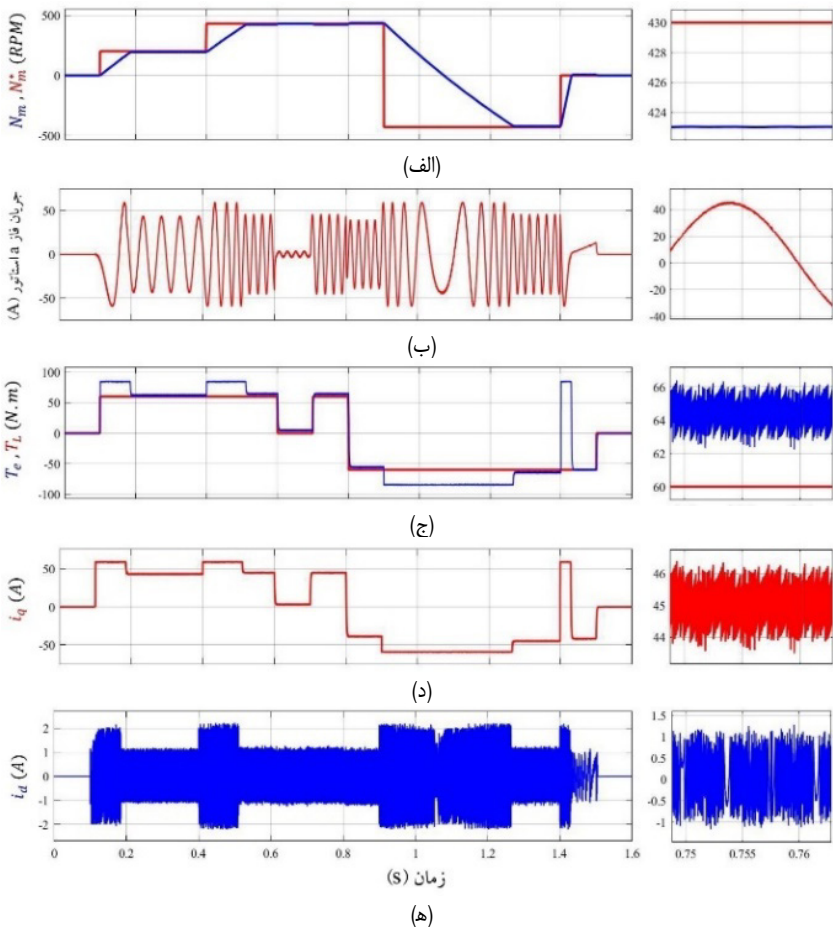
۳-۲ پیاده‌سازی حلقه کنترل سرعت با روش پیش‌بینی

در ادامه کار، حلقه کنترل سرعت هم به صورت پیش‌بین مستقل از مدل PMSM موتور پیاده‌سازی می‌شود. معادله دینامیکی بخش سرعت به صورت زیر است

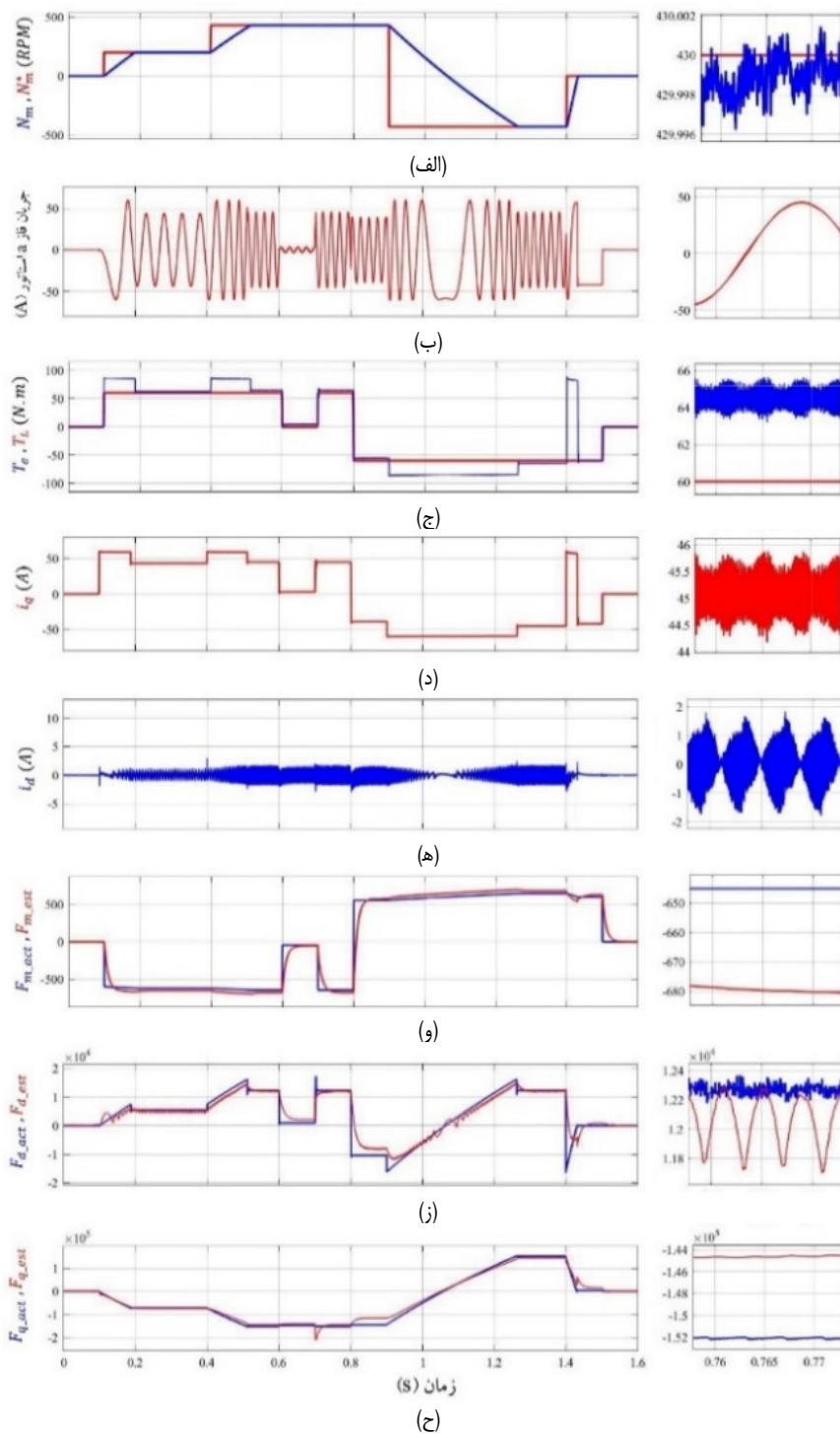
$$\frac{d\omega_m}{dt} = \frac{1}{J} \left(\frac{3}{2} p \psi_f i_q - B \omega_m - T_L \right) \quad (۳۲)$$



شکل ۱: نتایج شبیه‌سازی روش مرسوم MBPCC. (الف) سرعت مرجع و سرعت واقعی، (ب) جریان استاتور، (ج) گشتاور بار و گشتاور واقعی، (د) جریان i_q و (ه) جریان i_d .



شکل ۲: نتایج شبیه‌سازی روش MFPCC با بهروزرسانی گرادیان‌های جریان، (الف) سرعت مرجع و سرعت واقعی، (ب) جریان‌های سه‌فاز استاتور، (ج) گشتاور بار و گشتاور واقعی، (د) جریان i_q و (ه) جریان i_d .

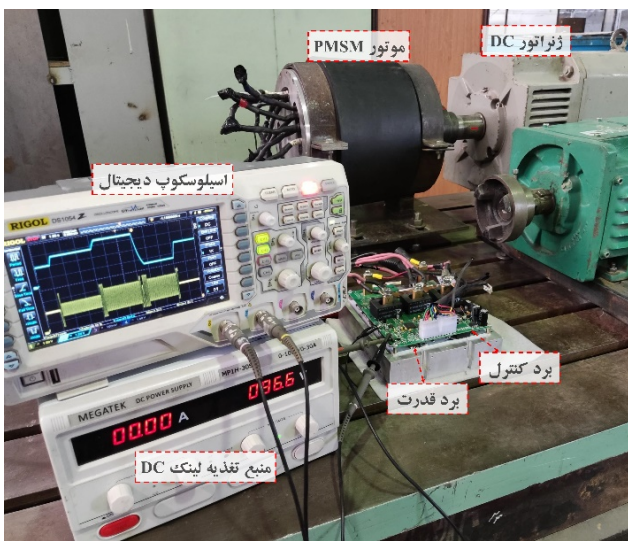


شکل ۳: نتایج شبیه‌سازی روش پیشنهادی MFPCSC+NDO، (الف) سرعت مرجع و سرعت واقعی، (ب) جریان استاتور، (ج) گشتاور بار و گشتاور واقعی، (د) جریان i_q ، (ه) جریان i_d ، (و) F_m و \hat{F}_m مجموع اغتشاشات مکانیکی واقعی و تخمینی سیستم، (ز) F_d و \hat{F}_d اغتشاشات ناشناخته واقعی و تخمینی در راستای محور d و (ح) F_q و \hat{F}_q اغتشاشات ناشناخته واقعی و تخمینی در راستای محور q.

نسبتاً زیاد کنترل می‌شود و این روش ریپل گشتاور نسبتاً بالایی دارد.
 $(\Delta T = 20 \text{ N.m})$

در شبیه‌سازی دوم، روش کنترل پیش‌بین جریان مستقل از مدل (MFPCSC) ارائه شده در [۱۱] با درنظرگرفتن گرادیان‌های جریان و ولتاژ‌های دو مرحله قبل برای محاسبه پیش‌بینی جریان و به دست آوردن تابع هدف کمینه و بردار ولتاژ مربوط بررسی شده‌اند که نتایج شبیه‌سازی آن در شکل ۲ آمده است. مطابق این شکل، مقادیر مرجع به خوبی دنبال می‌شوند و دامنه ریپل گشتاور ($\Delta T = 3.7 \text{ N.m}$) حاصل می‌شود که با توجه به لزوم طراحی ضرایب تابع هدف به صورت سعی و خطأ وابستگی

می‌شود تا ماشین در ناحیه ژنراتوری یعنی ربع کاری دوم قرار گیرد. در لحظه $t = 0.9$ ثانیه، مقدار مرجع سرعت به مقدار ۴۳۰ درجه معموس تغییر می‌کند و موتور وارد ربع کاری سوم می‌شود. در لحظه $t = 1.4$ ثانیه، سرعت مرجع صفر می‌شود؛ بنابراین سرعت موتور تحت بار کاهش می‌یابد تا به صفر برسد. در هنگام ترمز، ماشین وارد ناحیه عملکرد ژنراتوری می‌شود. مطابق شکل ۱، سرعت و جریان موتور به خوبی مقادیر مرجع خود را دنبال می‌کنند. با توجه به لختی دورانی نسبتاً بزرگ محور موتور و محدود کردن جریان استاتور به ۶۰ آمپر، سیستم دارای سرعت پاسخ گذرا مطلوبی نیست. همچنین جریان i_d روی مقدار صفر با ریپل



شکل ۶: نمایی کلی از سیستم آزمایشگاهی پیاده‌سازی شده.

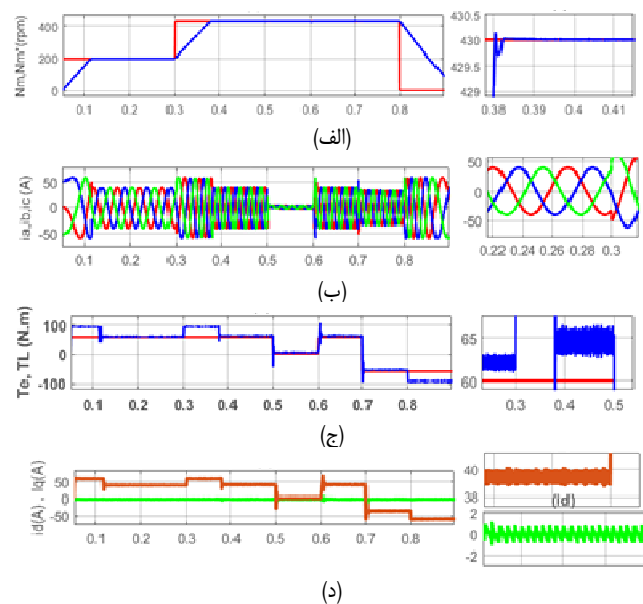
پاسخ مطلوبی بوده و جریان i_d روی مقدار متوسط صفر (با ریپل ۲ آمپر) کنترل می‌شود. دامنه ریپل گشتاور هم در بار نامی به مقدار $\Delta T = 2 \text{ N.m}$ می‌رسد که بهمود قابل ملاحظه‌ای برای مقدار متوسط گشتاور است. همچنین عملکرد کنترل کننده به‌گونه‌ای است که این ریپل در تغییرات پارامترهای موتور حفظ می‌شود که در دو شکل ۴ و ۵ با تغییر پارامترهای NDO موتور، مقاومابودن کنترل کننده اثبات می‌شود. در عملکرد رؤیتگر، طراحی شده به‌منظور تخمین اختشاشات مکانیکی و الکتریکی سیستم در سه نمودار پایینی این شکل قابل ملاحظه است. در این نمودارها $F_{m,act}$ (تخمین‌زده شده توسط روابط) و $F_{m,est}$ (محاسبه شده توسط روابط) مقادیر واقعی و تخمینی اختشاشات مکانیکی سیستم هستند.

همان طور که دیده می‌شود، رؤیتگرهای طراحی شده با دقت مطلوبی اختشاشات سیستم را تخمین می‌زنند. مزایای این سیستم در مقایسه با کنترل کننده مرسوم PI، تنظیم بسیار ساده‌تر پارامترهای کنترل کننده و عدم وابستگی عملکرد گذرا و دائمی سیستم درایو به پارامترهای موتور هستند.

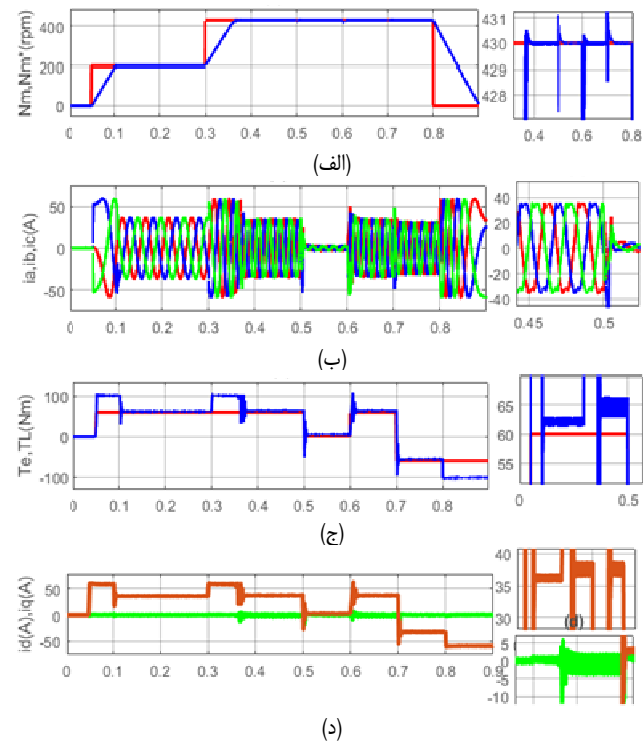
تنظیم ضرایب کنترل کننده در این حالت بسیار ساده است؛ ضریب α به‌سادگی برابر با عکس اندوکتانس سنکرون موتور انتخاب می‌شود و همچنین ضریب β تقریباً برابر $j_1, 1.5 p_1 \mu$ تنظیم می‌گردد. با تغییر ضریب β از ۱ تا ۱۰۰۰، سرعت پاسخ رؤیتگر در تخمین اختشاشات سیستم افزایش می‌یابد؛ اما با انتخاب مقادیر خیلی بزرگ‌تر برای β ، پاسخ سیستم به‌وضوح نوسانی می‌شود. با تغییر پارامترهای موتور مطابق با جدول ۳، شبیه‌سازی مجدد اجرا گشته تا مقاومابودن روش کنترلی بررسی شود. در جدول ۴، سه روش فوق از لحاظ ریپل گشتاور و THD جریان مقایسه شده‌اند.

۴- نتایج آزمایشگاهی

در سیستم عملی طراحی شده با ریزپردازنده STM32F407VGT6، روش کنترلی پیشنهادی به صورت زمان گستته، پیاده‌سازی و نتایج آزمایش‌های عملی ارائه می‌شود. برای حصول اطمینان از صحت عملکرد و نتایج سیستم آزمایشگاهی، نتایج عملی بدست‌آمده با نتایج شبیه‌سازی مقایسه می‌شود. تصویر سیستم آزمایشگاهی شامل برد کنترل، اینورتر سه‌فاز دوسرخی، موتور سنکرون آهنربای دائم ۳ kW، ژنراتور DC با تحریک مستقل به عنوان بار و منبع تغذیه DC در شکل ۶ آمده است.



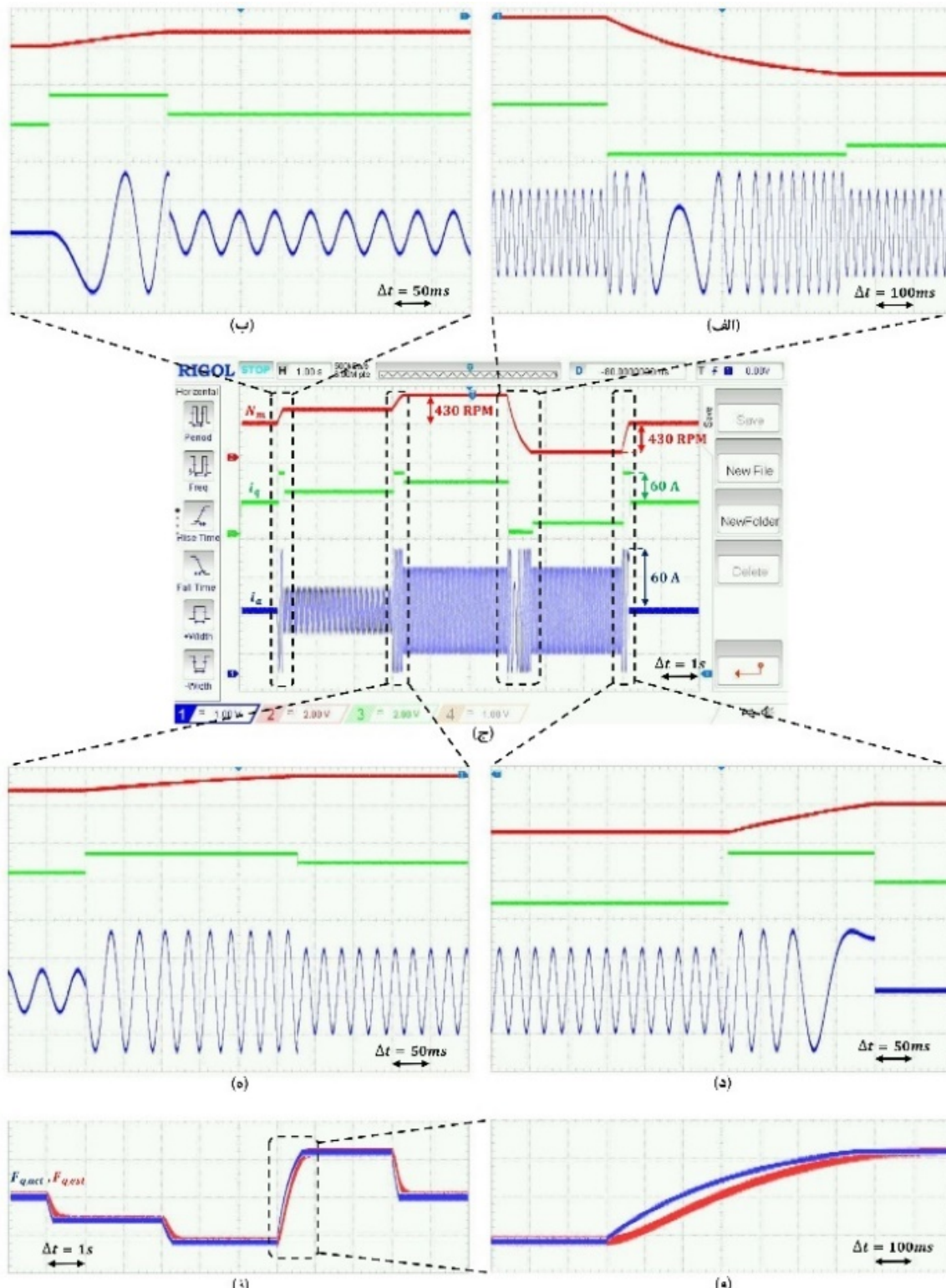
شکل ۴: نتایج شبیه‌سازی روش پیشنهادی MFPCSC + NDO با تغییر پارامترهای موتور مطابق جدول ۳ و با مجموعه مقادیر تغییریافته (الف) سرعت مرجع و سرعت واقعی، (ب) جریان‌های سه‌فاز استاتور، (ج) گشتاور بار و گشتاور واقعی و (د) جریان‌های i_d و i_q .



شکل ۵: نتایج شبیه‌سازی روش پیشنهادی MFPCSC + NDO با تغییر پارامترهای موتور مطابق جدول ۳ و با مجموعه مقادیر تغییریافته (الف) سرعت مرجع و سرعت واقعی، (ب) جریان‌های سه‌فاز استاتور، (ج) گشتاور بار و گشتاور واقعی و (د) جریان‌های i_d و i_q .

آنها به تغییرات بار، ریپل گشتاور بیشتر می‌شود. همچنین با تغییرات پارامترها (در محدوده مشخص)، ریپل گشتاور بیشتری نسبت به روش پیشنهادی دارد و طراحی ضرایب تابع هزینه، کار را بر حسب هر موتور متفاوت می‌کند.

نتایج شبیه‌سازی روش پیشنهادی MFPCSC + NDO در شکل ۳ ارائه گردیده‌اند. مشاهده می‌شود که سرعت و جریان موتور با تغییرات لحظه‌ای بار، مقادیر مرجع خود را دنبال می‌کنند. سیستم دارای سرعت



شکل ۷: نتایج آزمایش عملی تغییر سرعت با استفاده از روتیگر NDO روی صفحه اسیلوسکوپ، (الف) بزرگنمایی لحظه تغییر جهت، (ب) بزرگنمایی لحظه راهاندازی، (ج) نمای کلی نتایج آزمایش، (د) بزرگنمایی لحظه ترمز، (ه) بزرگنمایی عملکرد روتیگر، (و) بزرگنمایی مقادیر تخمینی و واقعی F_q .

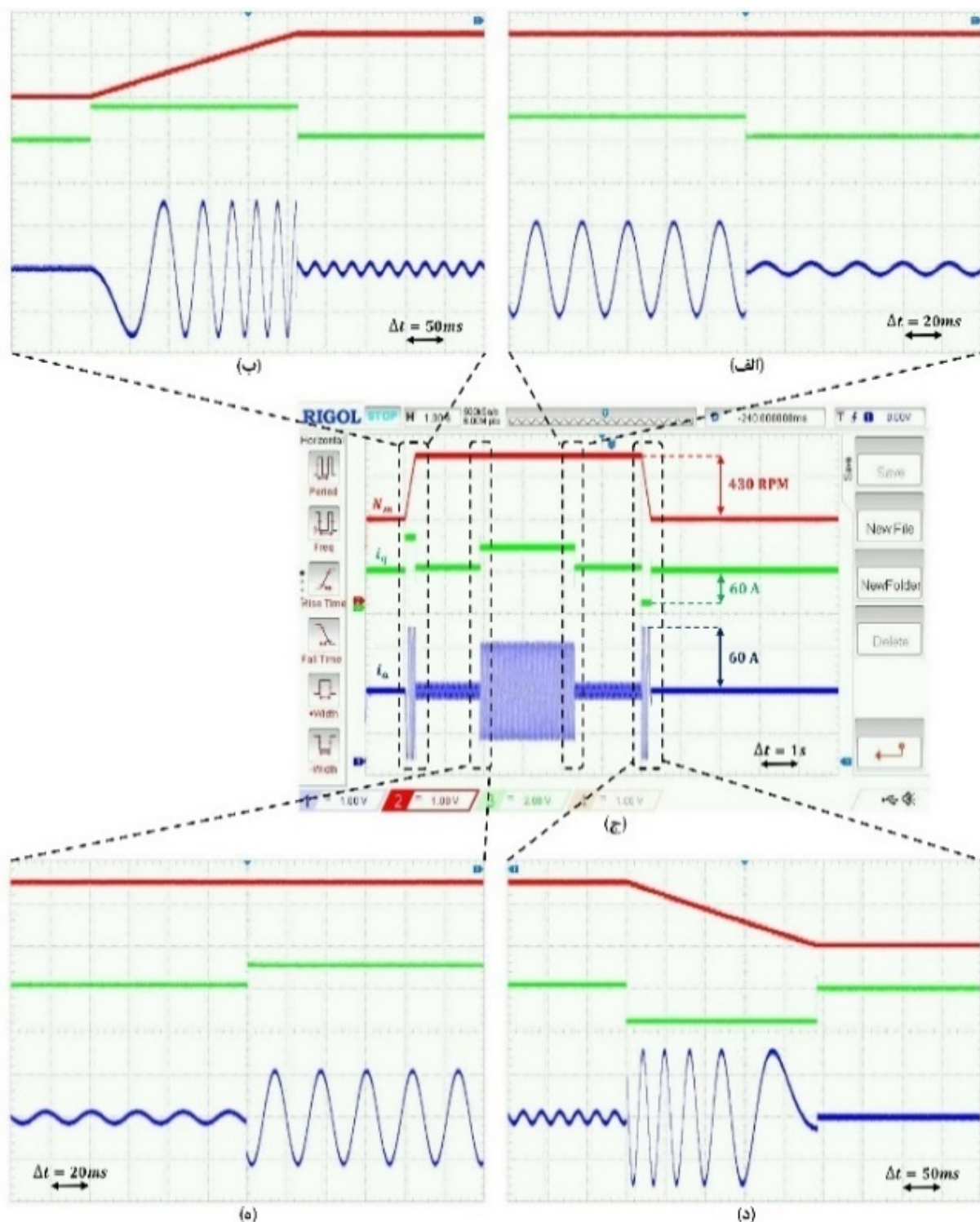
تحت آزمایش به صورت متغیر با سرعت تغییر می‌کند، جریان تحریک ژنراتور به گونه‌ای تنظیم می‌شود که در سرعت نامی، بار مکانیکی نامی به محور موتور اعمال شود. لازم به ذکر است که سیگنال‌های سرعت، جریان‌های i_d و i_q و مقادیر واقعی و تخمینی اغتشاشات سیستم پس از محاسبه توسط ریزپردازنده به کمک مبدل دیجیتال به آنالوگ نمایش داده می‌شود. همچنین برای اندازه‌گیری و نمایش جریان فاز a موتور از پرور جریان اسیلوسکوپ استفاده می‌شود.

فرمان تغییر سرعت مرجع به صورت خودکار توسط ریزپردازنده ایجاد

جدول ۳: تغییر پارامترهای موتور.

نام کمیت	مقادیر اصلی	مقادیر تغییریافته ۱	مقادیر تغییریافته ۲
R_s	0.022Ω	$2 \times R_s = 0.044$	$3 \times R_s = 0.066$
L_s	0.000289 H	$2 \times L_s = 0.000578$	$3 \times L_s = 0.000867$
ψ_f	0.159 wb	$1.1 \times \psi_f = 0.174$	$1.2 \times \psi_f = 0.19$

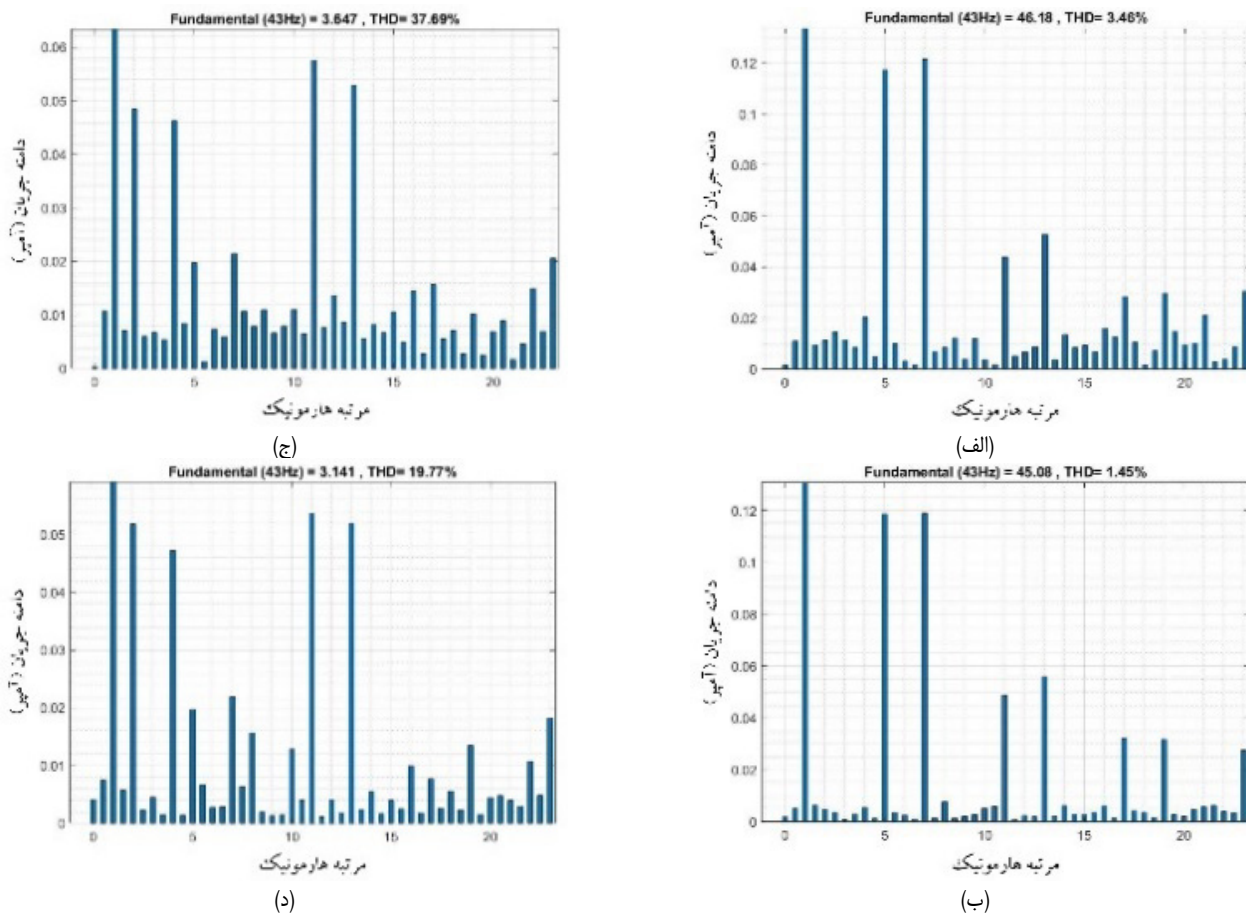
در این آزمایش که نتایج آن در شکل ۷ قابل ملاحظه است، فقط سرعت مرجع تغییر داده می‌شود و از آنجا که بار متصل به محور موتور



شکل ۸: نتایج آزمایش عملی تغییر بار با استفاده از رؤیتگر NDO روی صفحه اسیلوسکوپ، (الف) بزرگنمایی لحظه قطع بار، (ب) بزرگنمایی لحظه راهاندازی، (ج) نمای کلی نتایج آزمایش، (د) بزرگنمایی لحظه ترمز و (ه) بزرگنمایی لحظه اعمال بار.

در آزمایش دوم که نتایج آن در شکل ۸ آمده است، تغییر ناگهانی بار به منظور ارزیابی سرعت پاسخ حلقه کنترل سرعت انجام می‌شود. در این شکل منحنی‌های قرمز، سبز و آبی به ترتیب نشان‌دهنده سرعت مکانیکی روتور بر حسب دور بر دقیقه، جریان i_q و جریان فاز a بر حسب آمپر است. همان طور که مشاهده می‌شود، موتور به صورت بی‌بار راهاندازی شده و حدوداً ۲ ثانیه پس از رسیدن سرعت روتور به سرعت مرجع (۴۳۰ rpm) با وصل کردن جریان تحریک ژنراتور DC، بار مکانیکی به طور ناگهانی اعمال و پس از حدود ۲ ثانیه مجددًا قطع می‌شود. همان طور که مشاهده می‌شود به دلیل سریع بودن پاسخ گذرای کنترل کننده سرعت، سرعت روتور

می‌شود؛ به گونه‌ای که هر سرعت مرجع به مدت ۳ ثانیه و تغییر آن به صورت پله‌ای اعمال می‌شود. در پله اول سرعت مرجع ۲۰۰ rpm، در پله دوم سرعت نامی ۴۳۰ rpm و در پله سوم ۴۳۰ rpm در جهت عکس اعمال می‌شود. همچنین حداکثر جریان هر فاز در مقدار ۶۰ آمپر محدود می‌گردد. همان طور که مشاهده می‌شود سرعت روتور به خوبی، سرعت مرجع را دنبال می‌کند و جریان استاتور هم در تمام مدت آزمایش در مقدار حداکثر خود محدود می‌شود. زمان خیزش پاسخ سرعت در لحظات راهاندازی، افزایش سرعت، تغییر جهت و ترمز به ترتیب در زمان‌های حدودی ۱۲۰، ۲۲۰، ۴۸۰ و ۱۵۲ میلی‌ثانیه است.



شکل ۹: مقایسه طیف هارمونیکی جریان فاز a استاتور، (الف) جریان بار نامی در آزمایش عملی، (ب) جریان بار نامی در شبیه‌سازی، (ج) جریان باری در آزمایش عملی و (د) جریان باری در شبیه‌سازی.

جدول ۴: مقایسه عملکرد سیستم با روش‌های کنترل دیگر در شرایط نامی در فرکانس ۱۶ KHZ.

	خطای تخمین F_m	ریپل گشتاور	THD جریان	روش کنترلی
-	-	۳۰٪	۳.۵٪	کنترل پیش‌بین جریان بر مبنای مدل (MBPCC)
-	-	۵.۷٪	۲.۴٪	کنترل پیش‌بین جریان مستقل از مدل (MFPCC) با بهروزرسانی گرادیان جریان
۲/۸٪	۳/۱۵٪	۱/۴۴٪	کنترل پیش‌بین پیشنهادی در این مقاله (MFPCSC + NDO)	

تخمین اغتشاشات الکتریکی سیستم قبل ملاحظه است. همان طور که مشاهده می‌شود رؤیتگر طراحی شده دقت بالایی در تخمین اغتشاشات سیستم دارد.

۵- نتیجه‌گیری

در این مقاله با هدف کاهش وابستگی کنترل درایو موتور سنکرون آهنربای دائم به پارامترهای موتور و سایر نامعینی‌های سیستم، الگوریتم کنترل پیش‌بین مستقل از مدل مبتنی بر مدل بسیار ساده‌شده معروفی و پیاده‌سازی شد. در مورد رؤیتگر غیرخطی اغتشاش NDO نشان داده شد که امکان استفاده ازتابع خطی به جای تابع غیرخطی در رؤیتگر وجود دارد و پیاده‌سازی آن ساده‌تر شد. همچنین بهمنظور کاهش وابستگی عملکرد حلقه کنترل سرعت به پارامترها و مدل مکانیکی موتور، پیشنهاد شد که حلقه کنترل سرعت نیز به صورت پیش‌بین و مستقل از مدل پیاده‌سازی شود. بهمنظور تأیید نتایج شبیه‌سازی، یک سیستم آزمایشگاهی برای آزمایش روش‌های پیشنهادی روی PMSM با توان ۳ kW تهیه و جزئیات آزمایش‌های عملی تشریح شد. نتایج شبیه‌سازی و آزمایش‌های عملی، کارایی روش‌های پیشنهادی را تأیید می‌کند. عملکرد کنترل پیش‌بین مستقل از مدل برخلاف روش کنترل پیش‌بین مبتنی بر مدل،

در لحظات تغییر ناگهانی بار تغییر محسوسی ندارد. در دو شکل ۹-الف و ۹-ب، عملکرد سیستم واقعی در آزمایش اول با شبیه‌سازی از حیث طیف هارمونیکی جریان فاز a در شرایط نامی مقایسه می‌شود. نقلوت عدمه نتایج ناشی از نویز اندازه‌گیری جریان است. با فیلتر کردن نویزهای فرکانس بالای جریان اندازه‌گیری شده، THD تا مقدار ۱۳٪ بهبود یافت. لازم به ذکر است طیف هارمونیکی جریان، شبیه‌سازی و آزمایش عملی توسط نرم‌افزار MATLAB رسم شده است. مشابه آزمایش قبل، مقایسه نتایج آزمایش عملی در شرایط باری با نتایج شبیه‌سازی در شکل‌های ۹-ج و ۹-د قابل ملاحظه است. بدینهی است اثر نویز به دلیل کوچکی دامنه جریان فاز در حالت باری، اندازه‌گیری و سایر اغتشاشات در افزایش THD جریان تقویت می‌شود. با فیلتر کردن نویزهای فرکانس بالا، THD جریان تا مقدار ۲۱٪ بهبود یافت.

با مقایسه نتایج عملی و شبیه‌سازی استفاده از روش پیشنهادی MFPCSC + NDO نمایش داده شده در شکل‌های ۷ و ۸ با شکل ۳ می‌توان دریافت که تمام اهداف کنترلی شبیه‌سازی با این آزمایش عملی منطبق است. بنابراین صحت شبیه‌سازی الگوریتم کنترل پیش‌بین مستقل از مدل درایو موتور سنکرون آهنربای دائم به کمک رؤیتگر NDO تصدیق می‌شود. در شکل‌های ۷-و-۷-ز عملکرد رؤیتگر NDO در

- [12] L. Xu, G. Chen, and Q. Li, "Ultra-local model-free predictive current control based on nonlinear disturbance compensation for permanent magnet synchronous motor," *IEEE Access*, vol. 8, pp. 127690-127690, 2020.
- [13] M. Fliess and C. Join, "Model-free control," *International J. of Control*, vol. 86, no. 12, pp. 2228-2252, 2013.
- [14] J. Yang, S. Li, and W. H. Chen, "Nonlinear disturbance observer-based control for multi-input multi-output nonlinear systems subject to mismatching condition," *Int. J. of Control*, vol. 85, no. 8, pp. 1071-1082, Aug. 2012.
- [15] Y. Zhang, J. Jin, and L. Huang, "Model-free predictive current control of PMSM drives based on extended state observer using ultralocal model," *IEEE Trans. on Industrial Electronics*, vol. 68, no. 2, pp. 993-1003, Feb. 2021.
- [16] M. Fliess and C. Join, "Stability margins and model-free control: a first look," in *Proc. European Control Conf., ECC'14*, pp. 454-459, Strasbourg, France, 24-27 Jun. 2014.

محمدباقر سپهکار در سال ۱۳۸۸ مدرک کارشناسی مهندسی برق خود را از دانشگاه صنعتی اصفهان و در سال ۱۳۹۱ مدرک کارشناسی ارشد مهندسی برق خود را از دانشگاه صنعتی مالک‌اشتر اصفهان دریافت نمود. از سال ۱۳۹۲ الی ۱۳۹۵ نامبرده به عنوان مدرس در دانشگاه پیام نور اصفهان و کارشناس ارشد مرکز تحقیقاتی قدرت آن دانشگاه مشغول بوده است. و پس از آن به دوره دکترای مهندسی برق گرایش ماشین‌های الکتریکی و درایو در دانشگاه دولتی کاشان وارد گردید و در سال ۱۴۰۲ موفق به اخذ درجه دکترا در مهندسی برق از دانشگاه مذکور گردید. زمینه‌های علمی مورد علاقه ایشان متنوع بوده و شامل موضوعاتی مانند روش‌های کنترل درایو ماشین‌های مغناطیسی دائم، کاربرد کنترل پیش‌بین در اینورترها و شارژر های خودروهای برقی، مبدل‌های رزونانسی فرکانس بالا، سیستم‌های انتقال بی‌سیم توان الکتریکی و رباتیک می‌باشد.

ابوالفضل حلوایی نیاسر در سال ۱۳۷۵ مدرک کارشناسی مهندسی برق خود را از دانشگاه صنعتی اصفهان، و در سال ۱۳۷۸ مدرک کارشناسی ارشد مهندسی برق خود را از دانشکده فنی دانشگاه تهران و در سال ۱۳۸۷ مدرک دکترای مهندسی برق خود را از دانشگاه علم و صنعت ایران دریافت نمود. دکتر حلوایی سال ۱۳۸۷ به دانشکده مهندسی برق و کامپیوتر دانشگاه کاشان پیوست و هم‌اکنون نیز با مرتبه دانشیاری عضو هیأت علمی رسمی این دانشکده می‌باشد. زمینه‌های پژوهشی مورد علاقه ایشان عبارتند از: درایوهای الکتریکی به ویژه درایو انواع موتورهای آهنربای دائم، طراحی و تحلیل ماشین‌های الکتریکی، الکترونیک قدرت و خودروهای برقی و هیبرید برقی.

تحت تأثیر فرکانس نمونهبرداری تغییر چندانی ندارد و در مقایسه با کنترل کننده مرسوم PI تنظیمات ساده‌تر و مقاومت بیشتری در برابر نامعینی‌های سیستم دارد.

مراجع

- [1] Q. Liu and K. Hameyer, "Torque ripple minimization for direct torque control of PMSM with modified FCSMPC," *IEEE Trans. on Industry Applications*, vol. 52, no. 6, pp. 4855-4864, May 2016.
- [2] S. Chai, L. Wang, and E. Rogers, "A cascade MPC control structure for a PMSM with speed ripple minimization," *IEEE Trans. on Industrial Electronics*, vol. 60, no. 8, pp. 2978-2987, Aug. 2012.
- [3] X. Zhang, L. Zhang, and Y. Zhang, "Model predictive current control for PMSM drives with parameter robustness improvement," *IEEE Trans. on Power Electronics*, vol. 34, no. 2, pp. 1645-1657, Sept. 2018.
- [4] Y. Zhou, H. Li, and H. Yao, "Model-free control of surface mounted PMSM drive system," in *Proc. IEEE Int. Conf. on Industrial Technology, ICIT'16*, pp. 175-180, Taipei, Taiwan, 14-17 Mar. 2016.
- [5] J. Yang, W. H. Chen, S. Li, L. Guo, and Y. Yan, "Disturbance/uncertainty estimation and attenuation techniques in PMSM drives-a survey," *IEEE on Industrial Electronics*, vol. 64, no. 4, pp. 3273-3285, Apr. 2016.
- [6] X. Zhang, B. Hou, and Y. Mei, "Deadbeat predictive current control of permanent-magnet synchronous motors with stator current and disturbance observer," *IEEE Trans. on Power Electronics*, vol. 32, no. 5, pp. 3818-3834, May 2016.
- [7] J. Han, "From PID to active disturbance rejection control," *IEEE Trans. on Industrial Electronics*, vol. 56, no. 3, pp. 900-906, Mar. 2009.
- [8] Y. Zhang, J. Jin, L. Huang, W. Xu, and Y. Liu, "Model-free predictive current control of PMSM drives based on ultra-local model," in *Proc. 22nd Int. Confe. on Electrical Machines and Systems, ICEMS'19*, 5 pp., Harbin, China, 11-14 Aug. 2019.
- [9] J. Yang, S. Li, and X. Yu, "Sliding-mode control for systems with mismatched uncertainties via a disturbance observer," *IEEE Trans. on Industrial Electronics*, vol. 60, no. 1, pp. 160-169, Jan. 2012.
- [10] Y. Zhou, H. Li, and H. Zhang, "Model-free deadbeat predictive current control of a surface mounted permanent magnet synchronous motor drive system," *J. of Power Electronics*, vol. 18, no. 1, pp. 103-115, Jan. 2018.
- [11] C. Ma, H. Li, X. Yao, Z. Zhang, and F. De Belie, "An improved model-free predictive current control with advanced current gradient updating mechanism," *IEEE Trans. on Industrial Electronics*, vol. 68, no. 12, pp. 11968-11979, Dec. 2021.